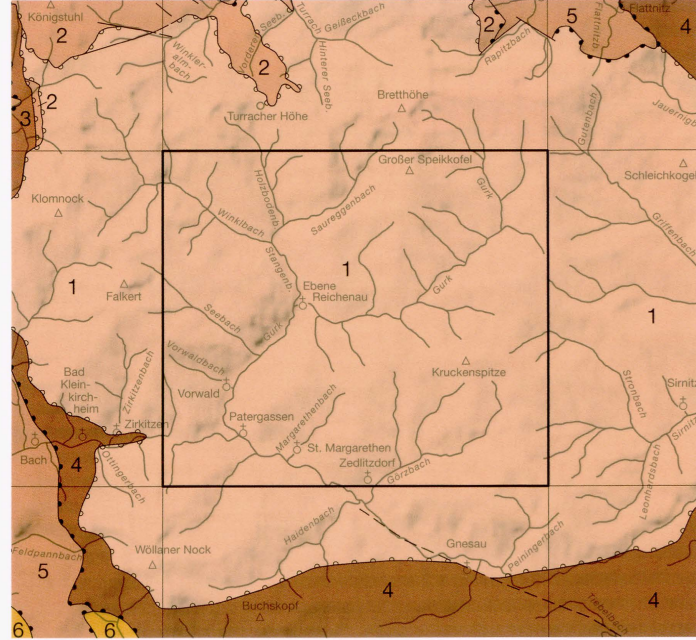


Tektonische Übersichtskarte
1 : 250 000



OBERSTALPINE DECKEN

Drauzug-Gurktal-Deckensystem

- 1 Stolzalpe-Decke
- 2 Königstuhl-Decke
- 3 Pfannock-Decke
- 4 Murau-Decke

Ötztal-Bundschuh-Deckensystem

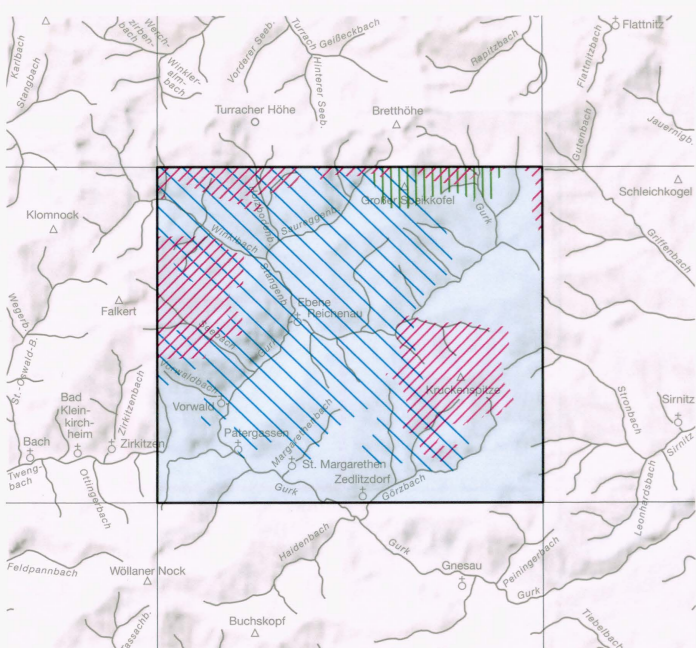
- 5 Bundschuh-Decke

Koralpe-Wölz-Deckensystem

- 6 Gastoder-Decke

- Störung und Scherzone (nachgewiesen, vermutet)
- Deckensystemgrenze (nachgewiesen)
- Deckengrenze (nachgewiesen)

Verteilung der Aufnahmegebiete



H.P. SCHÖNLAUB, 2006-2015

B. HUET, 2015 (strukturgeologische Bearbeitung)

C. IGLSEIDER (Projektleitung), 2011-2017 unter Verwendung von W. ANTONITSCH, 1990-1991; U. GIESE, 1983-1985; P. KLEFE, 1987

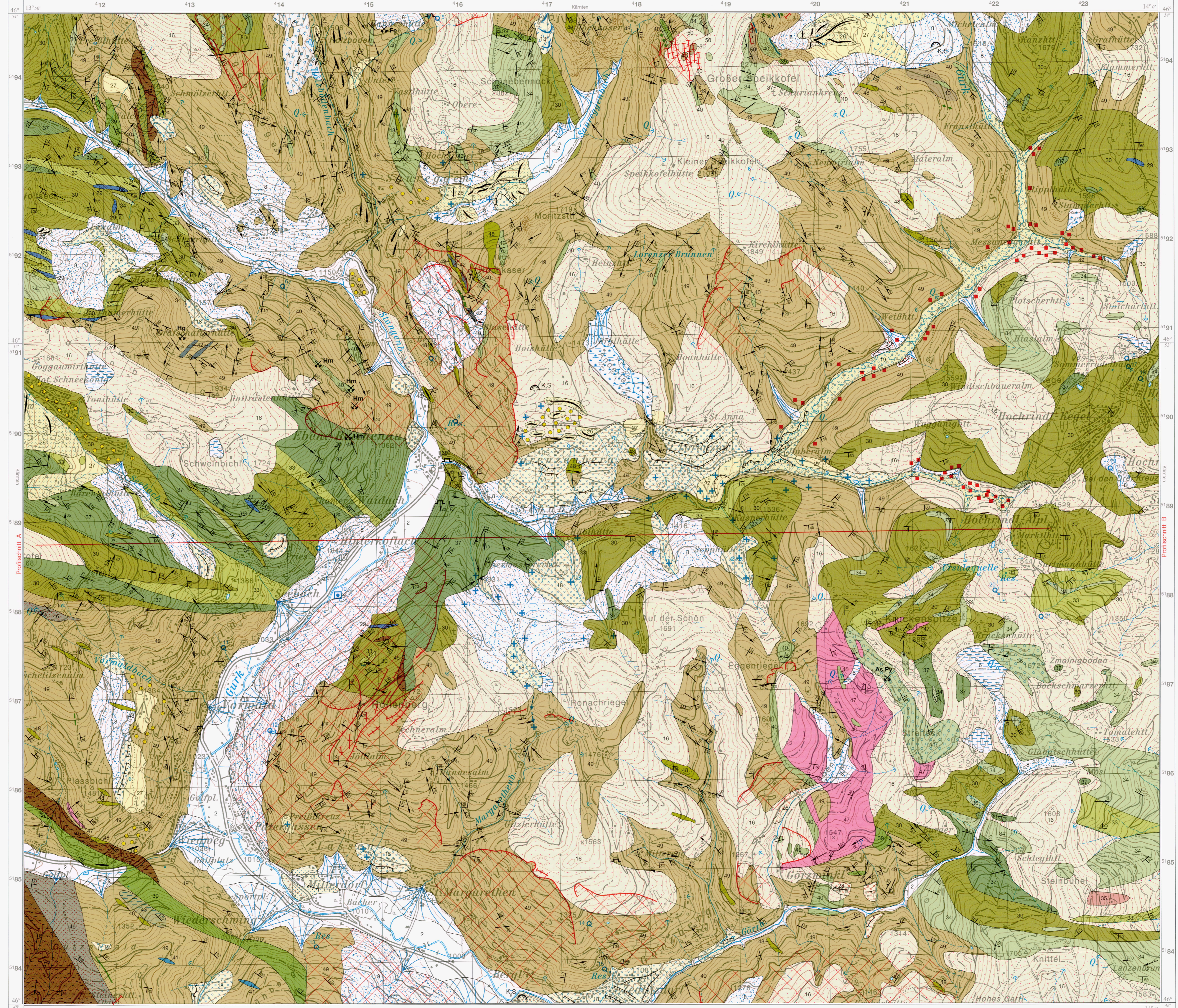
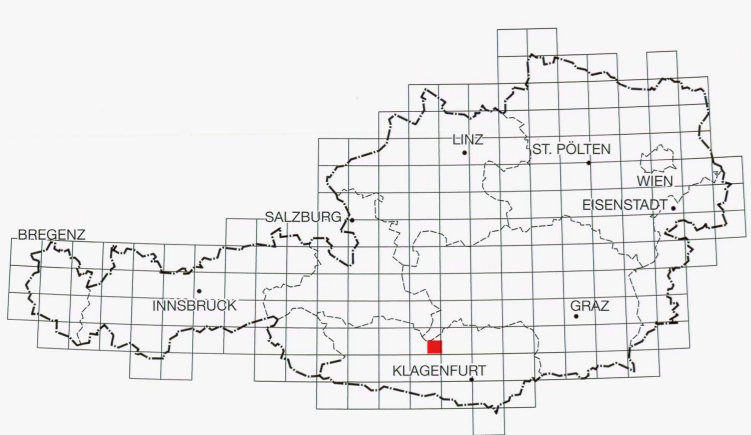
H. MÜLFINGER, 1987

Quartär D. VAN HUSEN, 2008-2017, (Quartärgeologie), unter Verwendung von F.H. UČIČ, 1983-1983

J. PISTOTNIK, 2003, erste Kompilation d. ganzen Karte 1:25.000

R. HOLZER & C. GORITSCHNIG, 1996, Teilkompilation 1:25.000

Lage der Karte in Österreich



QUARTÄRE SEDIMENTE UND FORMEN

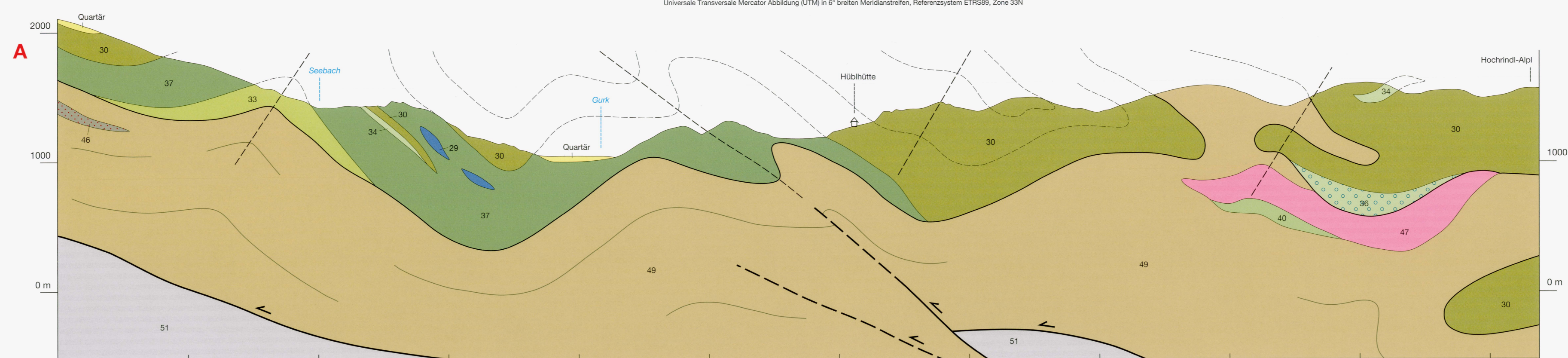
- 1 Deponekörper
- 2 Ablagerung in Talschlen und Talkerben; Silt, Sand, Kies, Steine
- 3 Bach- oder Flussablagerung (Hintere Gurk, östlich St. Lorenzen); Silt, Sand, Kies, Steine
- 4 Erosionskante
- 5 Schwenkkegel; Silt, Sand, Kies, Steine
- 6 Vernässung, Anmoor
- 7 Hochmoor, Niedermoer; Torf
- 8 Hangschuttablagerung, Schuttkegel; Schutt, Steine, Blöcke
- 9 Abrisskante einer Massenbewegung
- 10 Bergzerreißung, Zerspalte, Zergraben
- 11 Antithetischer Bruch
- 12 Tiefgreifend aufgelockerter Fels
- 13 Blockgletscherablagerung, mit Wallform
- 14 End- und Seitenmoränenablagerung; Diamikt, mit Wallform
- 15 Karneablagerung; Silt, Sand, Kies, mit Osform
- 16 Solifluktionsschutt, teils mächtig, auf unvergletscherten Hängen; Silt, Sand, Schutt, Steine; Pleistozän
- 17 Felssturzblockwerk der unmittelbaren Eiszerfallsphase
- 18 Staukörper am Eisrand, Eisrandablagerung; Silt, Sand, Kies, Steine
- 19 Eisstauseeablagerung; Ton, Silt, Sand, Kies, Steine
- 20 Driftblock aus Stangnock-Formation
- 21 Subglaziale Schmelzwasserinne, ehemaliger Gletscherabfluss
- 22 Erratischer Block aus Stangnock-Formation
- 23 Rundhöcker
- 24 Blockgletscherablagerung
- 25 Moränenstreu; Diamikt
- 26 End- und Seitenmoränenablagerung; Diamikt, mit Wallform
- 27 Grund- und Ablationsmoränenablagerung; Diamikt
- 28 Staukörper am Eisrand (Görzbach, Kotzgraben); Silt, Sand, Kies, Steine

OBERSTALPIN

Drauzug-Gurktal-Deckensystem

- 29 Dolomitmarmor, hellgrau bis rostrot, massig, teilweise Phyllitagen, Quarz- und Kalzitadern führend, "Eisendolomit"; ?Oberordovizium - Unterdevon
- 30 Metatuff, Metatuffit, Chloritphyllit, Grünschiefer, wechsellagernd, untergeordnet Phyllitagen
- 31 Chloritschiefer, Grünschiefer, karbonatisch, teilweise Metatuff
- 32 Chloritschiefer, Grünschiefer, gebändert
- 33 Chloritphyllit, grünlichgrau, untergeordnet Metasandsteinlagen, (Quarz-)Phyllit
- 34 Metatuff, Metatuffit, grauviolett bis grünlichgrau, basisch-intermedial, teilweise Metahyaloklastit- und Metabombentufflagen, selten Phyllit
- 35 Metatuff, rhyolithisch, hell, Quarz-Porphyrblasten, geschiefert, teilweise Erz führend; Oberordovizium
- 36 Metapilltuff, Metabombentuff, Metatuff-Brekzie
- 37 Metabasalt, Metadolorit, (Pillow-)Lava, massig, Pyroxen führend, teilweise gangförmig, "Metadiabas"
- 38 Metadolorit, basaltisch-trachyandestisch, Pyroxen- und Feldspat-Porphyrblasten, vergrünt, teilweise gangförmig
- 39 Metabasalt, Metadolorit, basaltische Intrusiva, massig, pyroxenreich, selten Grünschiefer, teilweise gangförmig, "Metadiabas"
- 40 Metatuff, Metatuffit, grauviolett bis grünlichgrau, basisch-intermedial, teilweise mit Phyllitagen
- 41 Kalzitmarmor, feinkörnig, weiß-grau gebändert, mylonitisch
- 42 Dolomitmarmor, dunkel- bis hellgrau, Eisenerz führend, gebändert, reich an Quarzadern, selten mylonitisch, "Eisendolomit"; ?Unterordovizium - ?Oberordovizium
- 43 Phyllit, feinlaminiert
- 44 Phyllit, quarzitisches
- 45 Graphitschiefer, phyllitisch, dunkelgrau bis schwarz
- 46 Quarzit, hell, sandig
- 47 Metaintrusiv, rhyolithischer Schmelztuff, massig, teilweise geschiefert, grünlich, Quarz-Porphyrblasten, "Porphyroid"; Unterordovizium - Mittelordovizium
- 48 Chloritschiefer, Chloritphyllit, untergeordnet Grünschiefer, teilweise Quarz und Eisenerz führend
- 49 Metasandstein, Metakonglomerat, Tonschiefer, (Quarz-)Phyllit, wechsellagernd, grünlichgrau, siliziklastisch, teilweise quarzitisches, graphitisch und Metakonglomerat
- 50 Metakonglomerat

- 51 Stangnock-Formation, Metakonglomerat, Metasandstein, Phyllit, Tonschiefer, wechsellagernd, teilweise Anthrazit und Graphit führend, geschiefert und mylonitisch; Moskovium - Kasimovium (nur auf Profil)



ZEICHENSCHLÜSSEL

(auf der Karte vorkommende Zeichen markiert ▶)

Lithologisch-lithodemische Grenzflächen

- Gesteinsgrenze
- - - - - Gesteinsgrenze vermutet
- Transgressionskontakt, Diskordanz

Strukturgeologische Symbole

Tektonische Grenzflächen, Deformationsbereiche und Strukturelemente

- Deckengrenze
 - ↔ Deckengrenze höherer Ordnung
 - ↔↔↔ Deckengrenze höherer Ordnung (vermutet)
 - ↔↔↔ Inverse Deckengrenze höherer Ordnung
 - ↔↔↔ Inverse Deckengrenze höherer Ordnung (vermutet)
 - ↔↔↔ Deckengrenze
 - ↔↔↔ Deckengrenze (vermutet)
 - ↔↔↔ Inverse Deckengrenze
 - ↔↔↔ Inverse Deckengrenze (vermutet)
- Störung und Scherzone
 - Störung, Scherzone (im Allgemeinen)
 - - - - - Störung, Scherzone (im Allgemeinen, vermutet)
 - ▬ Abschiebung
 - ▬▬ Abschiebung (vermutet)
 - ▬▬ Aufschiebung
 - ▬▬ Aufschiebung (vermutet)
 - Seitenverschiebung sinistral
 - Seitenverschiebung sinistral (vermutet)
 - Seitenverschiebung dextral
 - Seitenverschiebung dextral (vermutet)

Planare Strukturen (Fallrichtung und Fallwinkel)

- Streichen und Fallen der Schieferung und Schichtung
 - + <5°
 - + 5-85°
 - + >85°
- Streichen und Fallen der Schieferung bei inverser Lagerung
 - + <5°
 - + 5-85°

Lineare Strukturen (Abtauchrichtung und -winkel)

- Lineation
- Faltenachse

Der Fallwinkel wird auf 5° gerundet.
(Ausnahmen für horizontale/schiefe und vertikale/saigere Raumlagen nur für Schichtung/Schieferung/planare Gefüge bzw. inverse Schichtung).

Stratigrafie-relevante Symbole

- Detailprofil
- Palynologisches Profil
- Fundstelle von
 - Makrofossilien (zool.)
 - Mikro- und Nannofossilien
 - Makrofossilien (botan.)
 - Spurenfossilien

Hydrogeologisch-Geomorphologische Symbole

- Hydrogeologische Symbole
 - Quelle, Quellgruppe
 - Quelle, Quellgruppe gefasst
 - Arteser
 - Mineral-, Thermal- oder Heilwasservorkommen
 - Brunnen
 - Schwinde
 - Ponor

Karstmorphologische Symbole

- Doline
- Dolinenfeld
- Erdfall
- Pojje
- Paläokarst

Geomorphologische Symbole

- Höhle
- Ehemaliger Abfluss, Trockental
- Äolische Form
 - Düne

Erosionsform

- Windhocker (Yardang)
- Paläo-Kolk
- Windkanter

Permafrostformen und Phänomene

- Unterkühlte Schutthalde, Holozän
- Kryoturbation
- Frostmusterboden
- Eiskeil-Pseudomorphose
- Eiskeilnetz (fossil)

Glazogene Formen

- Totalsloch
- Gletschermühle
- Gletscherschliff
- Subglaziale Schmelzwasserinne

Rohstoffgeologische Symbole

- Steinbruch
- Kies-, Sand-, Ton-, Lehmgrube
- Bergbau, in Betrieb
- Bergbau, aufgelassen
- Bergbau, prähistorisch
- Bergbaugebiet
- Schaubergwerk
- Bohrung
- Tiefbohrung
- Torfstich
- Pinge
- Pingenfeld

Abkürzungen

Ag Silber	Fe Eisenkarbonate	Mg Magnesit	Salz	Salz
Al Bauxit	Fsp Feldspat	Mn Mangan	Sb Antimon	
Am Anhydrit	Flt Fluorit	Mo Molybdän	Sch Schwefel	
Anth Anthrazit	Gas Erdgas	Mt Magnetit	Six Silix	
As Arsen	Gbk Glanzbraunkohle	Ni Nickel	Stk Steinkohle	
Asb Asbest	Gg Gips	Oel Erdöl	T Ton, Lehm	
Au Gold	Gps Gips	Osch Oschiefer	Tm Tonmergel	
Bk Baryt	Gl Glimmer	P Phosphorit	Tlk Talk	
Be Beryllium	Gr Grafat	Pb Blei	U Uran	
Bent Bentonit	Hg Quecksilber	Pgm Farberden	Vm Vermiculit	
Bk Braunkohle	Hm Hämatit	Pth Pyrrhotin	W Wolfram	
Co Kobalt	K Kies-Sand	Py Pyrit	Zn Zink	
Cr Chrom	Kas Kaolin	Ozg Gangspatz		
Cu Kupfer	Leuk Leukophyllit	Qzs Quarzsand		
Dm Datonit	Li Lithium	S Sand		

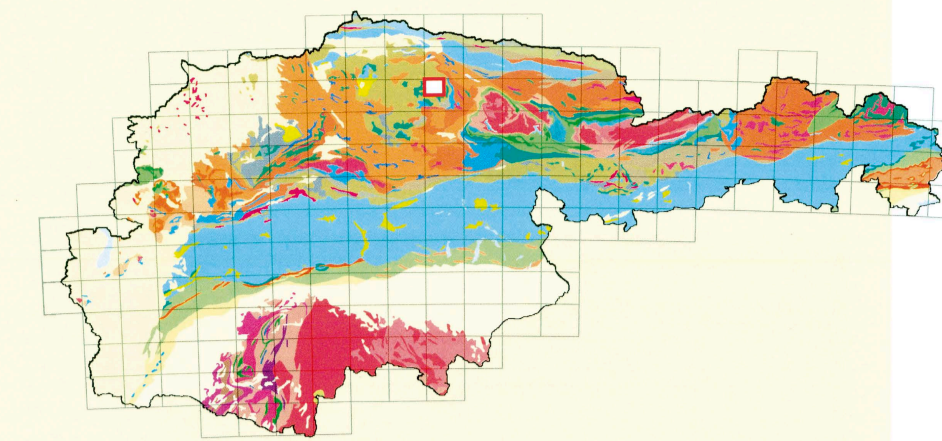
Sonstige Symbole

- Anthropogenes Phänomen
- Naturdenkmal

Bei Bedarf sind gleichartige Symbole zur besseren Referenzierbarkeit nummeriert.

Zusätzliche Symbole im Profilschnitt

- Tektonische Grenzflächen
 - Deckengrenze
 - Störung, Überschiebung
 - Störung, Überschiebung (vermutet)
 - Spur der Achsenfläche
 - Falten- und Internstruktur

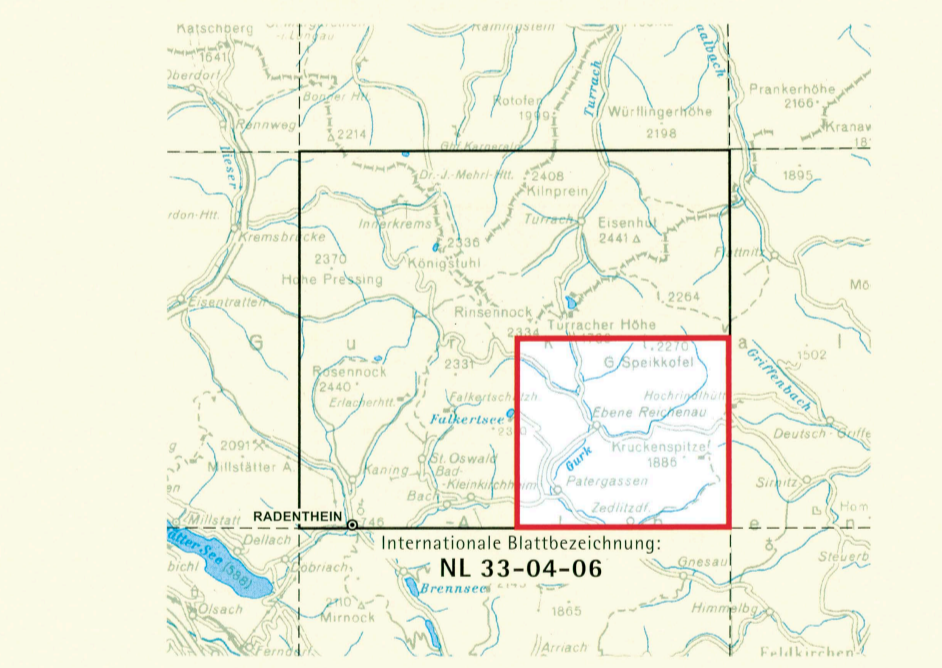


RADENTHEIN-SÜDOST 1:25.000

GEOLOGISCHE KARTE DER REPUBLIK ÖSTERREICH

GEOLOGISCHE KARTE DER REPUBLIK ÖSTERREICH

RADENTHEIN-SÜDOST 1:25.000



Verlag der Geologischen Bundesanstalt
1030 Wien, Neulinggasse 38
www.geologic.ac.at

Geologische Karte der Republik Österreich,
Blatt RADENTHEIN-SÜDOST 1:25.000,
Geologische Bundesanstalt, 2019, Wien.

ZITIERVORSCHLAG
SCHÖHLAU, H.P., VAN HUSEN, D., HUET, B. & SÖLDESER, C. (2019):
Geologische Karte der Republik Österreich,
Blatt Radenthein-Südost 1:25.000, Geologische Bundesanstalt, Wien.

QUELLENVERZEICHNIS

ANTONITSCH, W. (1991): Bericht 1990 über geologische Aufnahmen in der Gurktaler Decke auf Blatt 184 Ebene Reichenau – Jahrbuch der Geologischen Bundesanstalt, 134/3, 543–544, Wien.
ANTONITSCH, W. (1992): Bericht 1991 über geologische Aufnahmen in der Gurktaler Decke (Stolzalpen-Teildecke) auf Blatt 184 Ebene Reichenau – Jahrbuch der Geologischen Bundesanstalt, 135/3, 163, Wien.
GEISE, U. (1988): Alpaläozöischer Vulkanismus am NW-Rand der Gurktaler Decke. – Geologie, Petrologie, Geochemie. – Dissertation, Universität Tübingen, 227 S., Tübingen.
HOLZER, R. & GÖTTSCHEW, C. (1995): Koptation OK 184 Ebene Reichenau im Maßstab 1:25.000 – Archiv der Geologischen Bundesanstalt, Wien.
HUET, B. (2015): Strukturgeologie der Stätzalpe-Decke auf Blatt Radenthein-Ost (UTM 3106). – Jahrbuch der Geologischen Bundesanstalt, 155, 121–145, Wien.
KLEFF, P. (1988): Stratigraphie, Petrographie und Geochemie am Westrand der Gurktaler Decke. – Das Faltengebirge/Kärnten/Österreich. – Diplomarbeit, Universität Tübingen, 139 S., Tübingen.
MULFINGER, H. (1988): Bericht 1987 über geologische Aufnahmen in der Gurktaler Decke auf Blatt 184 Ebene Reichenau. – Jahrbuch der Geologischen Bundesanstalt, 131/3, 407–408, Wien.
PISTONIK, J. (1979): Bericht 1977 über geologische Aufnahmen im Paläozoikum auf Blatt 184 Ebene Reichenau (Gurktaler Alpen). – Verhandlungen der Geologischen Bundesanstalt, 1978 (1979), 140, Wien.
PISTONIK, J. (1980): Bericht 1987 über geologische Aufnahmen auf Blatt 184 Ebene Reichenau. – Jahrbuch der Geologischen Bundesanstalt, 131/4, 458–469, Wien.
PISTONIK, J. (1989): Bericht 1988 über geologische Aufnahmen im Paläozoikum auf Blatt 184 Ebene Reichenau. – Jahrbuch der Geologischen Bundesanstalt, 132/3, 604–605, Wien.
PISTONIK, J. (1992): Bericht 1991 über geologische Aufnahmen im Paläozoikum (Gurktaler Decke) auf Blatt 184 Ebene Reichenau. – Jahrbuch der Geologischen Bundesanstalt, 135/3, 763–764, Wien.
PISTONIK, J. (2003): Geologische Manuskriptkarte auf OK 184 Ebene Reichenau, Nord- und Südteil 1:25.000. – Archiv der Geologischen Bundesanstalt, Wien.
SCHÖHLAU, H.P. (2013): Geologische Manuskriptkarte 1:25.000 von UTM 3106 Ost Turracherhöhe Südteil. – Archiv der Geologischen Bundesanstalt, Wien.
UCK, F.H. (1987): Bericht 1986 über geologische Aufnahmen im Quartär auf den Blättern 184 Ebene Reichenau und 185 Stralburg. – Jahrbuch der Geologischen Bundesanstalt, 130/3, 344–346, Wien.
UCK, F.H. (1989): Bericht 1988 über geologische Aufnahmen im Quartär auf den Blättern 184 Ebene Reichenau und 185 Stralburg. – Jahrbuch der Geologischen Bundesanstalt, 132/3, 605–606, Wien.
VAN HUSEN, D. (2008): Geologische Manuskriptkarte auf Blatt 184 Ebene Reichenau. – Aufnahmebericht, Archiv der Geologischen Bundesanstalt, Wien.
VAN HUSEN, D. (2009): Geologische Manuskriptkarte auf Blatt 184 Ebene Reichenau. – Aufnahmebericht, Archiv der Geologischen Bundesanstalt, Wien.
VAN HUSEN, D. (2012): Zur glazialen Entwicklung des oberen Gurktales. – Jahrbuch der Geologischen Bundesanstalt, 152/1–4, 39–56, Wien.